



UNIVERSIDAD NACIONAL AUTONOMA DE MEXICO

FACULTAD DE INGENIERIA

ESTUDIO DE LOS TEMBLORES
DE OMETEPEC DEL 7 DE
JUNIO DE 1982, Y SUS
REPLICAS.

TESIS PROFESIONAL

QUE PARA OBTENER EL TITULO DE
INGENIERO GEOFISICO
P R E S E N T A
EMILIO NAVA ALATORRE
CD. UNIVERSITARIA, D. F. 1984.



UNAM – Dirección General de Bibliotecas

Tesis Digitales
Restricciones de uso

DERECHOS RESERVADOS ©
PROHIBIDA SU REPRODUCCIÓN TOTAL O PARCIAL

Todo el material contenido en esta tesis está protegido por la Ley Federal del Derecho de Autor (LFDA) de los Estados Unidos Mexicanos (Méjico).

El uso de imágenes, fragmentos de videos, y demás material que sea objeto de protección de los derechos de autor, será exclusivamente para fines educativos e informativos y deberá citar la fuente donde la obtuvo mencionando el autor o autores. Cualquier uso distinto como el lucro, reproducción, edición o modificación, será perseguido y sancionado por el respectivo titular de los Derechos de Autor.

ESTUDIO DE LOS TEMBLORES DE OMETEPEC DEL
7 DE JUNIO DE 1982, Y SUS REPLICAS

T E S I S
que para obtener el título de:
INGENIERO GEOFÍSICO
Presenta
EMILIO NAVA A.

INDICE

RESUMEN.....	2
INTRODUCCIÓN.....	2
1 ANTECEDENTES.....	3
1.1 Tectónica de la región.....	3
1.2 Historia sismica de la Región.....	3
1.3 Consideraciones sobre Vacancia Sísmica.....	4
1.4 Mapa de Isosistemas.....	5
2 ESTUDIO DE LAS REPLICAS.....	5
2.1 Instrumentación de la Región.....	5
2.2 Determinación de hipocentros y magnitudes de las replicas.....	6
2.3 Área de ruptura.....	8
2.4 Mecanismo Focal.....	8
2.5 Valor de b y Velocidad de entrada de la Placa.....	9
2.6 Caida de esfuerzos y desplazamientos.....	10
3 LOS EVENTOS PRINCIPALES.....	11
4 LA ACTIVIDAD SÍSMICA ANTERIOR.....	12
4.1 Datos del boletín "Información Sísmica Preliminar".....	13
4.2 Datos del boletín "F.D.E.".....	13
5 CONCLUSIONES.....	14
AGRADECIMIENTOS.....	15
FIGURAS.....	16
REFERENCIAS.....	32

RESUMEN

Usando informacion obtenida con una red local instalada en Ometepec y dos redes telemetricas, se analiza la sismicidad a partir de la ocurrencia de dos sismos de magnitudes 6.9 y 7.0 Ms. el 7 de Junio de 1982. Estos ocurren en una zona ya estudiada anteriormente y catalogada como vacancia sismica (Singh et al, 1981).

Los datos de primer arribo en las estaciones de Mexico, concuerdan con el mecanismo focal obtenido por Astiz y Kanamori (1983) usando datos telesismicos.

Se calcula el area de replicas siendo esta de aproximadamente 2100 km cuadrados, una caida de esfuerzos de 3.6 bars y una relacion de 0.35 entre el desplazamiento debido al sismo entre el desplazamiento acumulado, debido a la subducción de la Placa de Cocos.

El valor de b para esta area fue 0.66 para un periodo de observación de diez días.

Los eventos principales se relocalizaron empleando la tecnica de evento maestro quedando como localizaciones finales: 10.25 latN y 98.24 lonW para el sismo ocurrido a las 0:52 GMT y 10.32 latN y 98.45 lonW para el evento de las 10:59 GMT.

INTRODUCCION

El 7 de Junio de 1982 a las 04:52 GMT y a las 10:59 GMT ocurrieron dos movimientos sismicos localizados en el estado de Guerrero proximo a la poblacion de Ometepec. Con el fin de estudiar a fondo los eventos sismicos, el Instituto de Ingenieria instalo de inmediato una red local de sismografos en el area epicentral.

En este trabajo se presentan los calculos de algunos parametros focales, los resultados del analisis de los datos de campo y la relocalizacion de los eventos principales, bajo la tecnica de "evento maestro", ya que estos fueron localizados en forma preliminar usando datos de estaciones lejanas y una cobertura azimutal pobre.

I. ANTECEDENTES

1.1 Tectonica de la region

La zona comprendida entre los paralelos 15 y 17 grados de latitud norte y los meridianos 97.5 a 99.5 grados de longitud oeste, motivo de este estudio se encuentra en la zona continental mas proxima a la trinchera, estructura originada por la subducción que experimentan las placas Norteamericana y de Cocos (Molnar y Sykes, 1969).

ra que la placa de Cocos tiene un espesor menor y un peso específico mayor, es la que tiende a hundirse, al ser empujada bajo las masas graníticas de la placa Norteamericana.

El polo de rotación y la velocidad angular de la Placa de Cocos respecto a la Norteamericana reportadas por Minster y Jordan (1978) son 29.8 latitud N y 121.3 longitud W, y 1.439×10^{-6} grados/ano, respectivamente. En la región de estudio la placa de Cocos entra con una velocidad promedio de 7 cm/ano.

1.2 Historia sismica de la Region

En la tabla siguiente, se listan los eventos que fueron registrados entre los paralelos 15 a 17 de latitud N y los meridianos 97 a 98.5 de longitud W, con magnitud Ms mayor o igual a 7.0.

fecha	coords. geograficas	f	M _s	M _l	f
1928-abr-17	17.750	97.100	F	7.7	F
1928-jun-17	16.217	97.183	F	7.5	F
1928-agosto-04	16.367	97.800	F	7.3	F
1928-oct-09	16.367	97.800	F	7.4	F
1937-dic-23	17.100	98.070	D	7.5	K
1938-ene-02	16.183	98.317	F	7.2	F
1942-nov-25	16.183	98.317	F	7.2	F
1950-dic-14	16.483	98.217	F	7.5	F
1950-dic-14	17.22	98.12	D	7.3	K
1950-dic-14	16.87	98.54	Q		

F Figueroa (1970)

N Kelleher et al (1973)

D Duda (1965)

G Quintanar (1984)

El ultimo evento se repite, por haber encontrado una gran diferencia con otras fuentes y por ser el de mayor importancia, como se vera mas adelante.

1.3 Consideraciones sobre Vacancia Sismica

Se ha observado una cierta periodicidad para eventos de gran magnitud que puede variar de 32 a 50 años (Singh et al. 1981) y que en algunos lugares, ha sido asombrosa la exactitud en la periodicidad, tal es el caso del temblor de Petatlan, 1979 donde se calculo una periodicidad de 30 años ocurriendo grandes sismos en marzo de 1908, febrero de 1943 y febrero de 1979.

En estudios previos, se habia ya determinado un claro vacancia sismica en el area de Ometepec (Singh et Al, 1981).

1.4 Mapa de Isosistas

Es importante mencionar el trabajo realizado por J. Figueira en la construccion del mapa de isosistas (fig. 1) que muestra la intensidad con que fue sentido el primer movimiento sismico (7 Junio 82 06:52) con base en datos de una encuesta.

2 ESTUDIO DE LAS REPLICAS

2.1 Instrumentacion de la Region

Las estaciones permanentes mas proximas a la zona epicentral fueron:

Estacion	Institucion	Distancia Aproximada
----------	-------------	----------------------

P10	Inst. de Geof.	50 km
ACA	Resmac	150 km
VHO	Inst. de Geof.	200 km
CC4	Inst. de Ing.	230 km
III	Inst. de Ing.	240 km
IIT	Inst. de Ing.	290 km

la figura 2 muestra su localizacion.

Despues de ocurridos los temblores principales (7 de Junio de 1982 06:52 y 10:59 G.M.T.) se procedio a instrumentar el area epicentral, por parte del Instituto de Ingenieria con cinco sismografos portatiles Sprengnether MEG-800 con registro de papel calumado y sismometros Ranger con periodo natural de 1 hz. El Instituto de Geofisica ademas, instalo otras cuatro estaciones en la zona.

Dieciocho horas despues de haber ocurrido el primer sismo fueron puestas las primeras estaciones de campo, con una distribucion tal que pudieran ser bien localizadas las

replicas, colocando los aparatos en sitios alejados de la carretera y de preferencia en afloramientos de roca firme. Las estaciones que se instalaron fueron las siguientes:

Estación	Institución	Coordenadas		
233	Inst. de Ing.	16	22.33	N 98 10.00 W
PDA	Inst. de Ing.		31.41	27.95
NEZ	Inst. de Ing.		29.45	6.99
TAM(233)	Inst. de Ing.		19.39	15.49
NPM(PDA)	Inst. de Ing.		22.50	30.87
CAC(NEZ)	Inst. de Ing.		36.09	10.12
LVG	Inst. de Ing.		40.40	26.19
LLJ	Inst. de Ing.		33.85	53.08
ADC	Inst. de Ing.		20.12	97 58.07

Estación	Institución	Coordenadas		
JAO	Inst. de Geof.	16	17.73	97 49.15
PIO	Inst. de Geof.		23.68	98 07.82
CTO	Inst. de Geof.		30.40	7.60
SNG	Inst. de Geof.		25.60	30.10
OMG	Inst. de Geof.		42.20	25.40
CGG(OMG)	Inst. de Geof.		40.50	27.45

El diagrama de operacion, se muestra en la tabla 1, su localizacion en la figura 3 y una muestra de los sismogramas obtenidos en la figura 4.

2.2 Determinacion de hipocentros y magnitudes de las replicas

Para el analisis de las replicas, se consideraron eventos con una duracion de registro de mas de sesenta segundos y que fueran registrados en mas de tres estaciones. Siguiendo tal procedimiento, se realizo la lectura y analisis de los sismogramas agrupando un total de 67 replicas, registradas en mas de cuatro estaciones. Gracias a la cooperacion del Instituto de Geofisica fue posible aumentar el numero de lecturas de cada evento, llegando en algunos casos a diez.

Para la localizacion de las replicas, despues de

haber sido seleccionadas, se procedio a su analisis a traves del programa HYPO 71 (Lee y Lahr, 1971) el cual usa un modelo de velocidad en capas planas y horizontales. En este estudio se ha usado el modelo cortical obtenido para eventos locales en la costa del Pacifico (Valdez, C., et al, 1982) cerca de Pefatlan y la formula de magnitud de coda (Lee, et al, 1972)

$$M_c = -0.87 + 2.0 \log T + 0.0035 D$$

en donde:

T= duracion del registro de

un evento en segundos

D= distancia epicentral en kilometros

Modelo cortical para eventos locales para la region de Pefatlan en la costa de Guerrero.

Velocidad	Profundidad
5.80	0.0
5.95	5.0
6.15	12.0
6.40	18.0
7.05	24.0
8.00	34.0

La grafica de epicentros correspondientes a las replicas se muestra en la figura 5 y un resumen de las magnitudes y su localizacion epicentral en la tabla 2, donde se puede observar que el error en la localizacion es, en general, aceptable.

La figura c6 y c8 muestran dos secciones de la zona epicentral, una perpendicular y otra paralela a la trinchera. Del analisis espacial y temporal se deduce que no es posible poder asociar ciertas replicas con cada uno de los eventos principales

2.3-Area de ruptura

El area de replicas es un parametro importante, ya que al proyectar dicha area en el plano de falla definido por el mecanismo focal se obtiene una estimacion del area de ruptura.

En este estudio se considera el area de replicas como el area de una curva cerrada que contenga a las replicas registradas, siempre y cuando no hubiera una localizacion a mas de 15 km del resto. Dicha area resulto de 2160 km cuadrados. (fig. 5)

Si proyectamos esa area en un plano inclinado de 13 grados que coincide con la solucion del mecanismo focal reportado por Astiz y Kanamori(1983) resulta un area de 1600 km cuadrados.

2.4 Mecanismo Focal

El mecanismo focal nos muestra en una proyeccion estereografica de igual area, un plano de falla y un plano auxiliar, determinados por arcos que dividen a las polaridades

Los planos deben ser perpendiculares, y con base en la tectonica regional se escoge uno de ellos como plano de falla. En este caso el plano sensiblemente paralelo a la trinchera que forman la Placa Norteamericana y la Placa del Pacifico.

El mecanismo focal y Momento Sismico calculados por Astiz y Kanamori (1983), basandose en la polaridad del primer arribo y restriccion de parametros del plano nodal al que llama "fault constrained solution", es el siguiente:

	06:52	10:59	dina-cm
Momento Sísmico ($\times 10^{12}$ cm) =	2.8	2.7	
Plano de Falla:			
Rumbo =	277	274	grados
Echado =	13	12	grados
Angulo de Deslizamiento =	69	68	grados
Plano Auxiliar:			
Rumbo =	116	116	grados
Echado =	77	78	grados
Angulo de Deslizamiento =	94	95	grados

ya que el vector de deslizamiento tiene una orientación positiva se trata de una falla inversa (Aki & Richards, 1980).

La Fig 7 muestra el mecanismo focal calculado por Astiz y Kanamori(1983) al que se le han agregado las estaciones de la red SISMEX, así como las estaciones ACX, ZIH, CHS y CHo de ambos temblores. Notese que la estación ACX se encuentra cerca del plano nodal, esto es claro también en su registro, en donde la fase P presenta poca amplitud.

2.5 Valor de b y Velocidad de entrada de la Placa

La estadística de los temblores esta dada por la relación de Gutenberg y Richter:

$$\text{Log } N = a - bM$$

donde:

M es la magnitud

N es el numero de eventos de magnitud mas grande o igual a M

a y b son constantes

Para el presente estudio, se utilizo la magnitud de coda (Lee et al, 1972) dando como resultado un valor de b de 0.80 mostrado en la figura 8, valor que cae en el rango que propone Berg(1968), que da valores de b entre 0.3 y 0.6 para los precursores de un gran temblor entre 0.7 y 1.2 para las replicas del mismo y mostrando un nivel de

detección de 2.3

La velocidad de la placa de Cocos con respecto a la de America, en la region de Ometepec, calculando a partir del polo y velocidad angular reportados por Minster y Jordan (1978) es de 7.0 cm/ano.

2.6 Caida de esfuerzos y desplazamientos

La caida de esfuerzos debida a un sismo puede ser calculada por la relacion:

$$D_s = 8M_0/[3\pi\mu L^2(w^2)]$$

dada por Kanamori y Anderson (1975), donde:

Ds Caida de esfuerzos

M0 Momento sismico

PI 3.1415926

L Largo de la falla

w Ancho de la falla

Usando inversion de ondas superficiales, Astiz y Kanamori (1983) obtuvieron un momento de 2.82×10^{20} din-cm para el primer evento y de 2.75×10^{20} din-cm para el segundo, sumando los momentos, tomando el area de replicas como un rectangulo de $w=60$ km por 130 km y usando esta relacion, se obtendra una caida de esfuerzos de 3.0 bars.

El desplazamiento promedio en la falla durante un sismo puede calcularse a partir de:

$$U = [C_0 D_s w l] / \mu u = M_0 / \mu u A$$

donde M_0 es el momento sismico, μu es la rigidez, y A el area de ruptura. Calculando resulta un desplazamiento de $U = 78.1$ cm.

Si se calcula el desplazamiento acumulado por el movimiento de la placa, basados en la velocidad reportada

por Minster y Jordan (1978) y el periodo intersismico, en este caso de 32 años, se obtiene como resultado $U_t = 224$ cm.

Entonces, la relacion entre el desplazamiento promedio en la falla y el desplazamiento acumulado en el periodo intersismico es:

$$n = U/U_t = 0.35$$

3. LOS EVENTOS PRINCIPALES

La localizacion preliminar obtenida minutos despues de ocurrido el primer movimiento, usando las estaciones sismotelemetricas del Instituto de Ingenieria (SISMEI), proporciono un epicentro preliminar, para la posible distribucion de una red local que habria de instalarse. Las figuras 9, 10 y 11 muestran el registro en las estaciones de SISMEI grabadas en forma digital por RESENADES, el de la estacion III de periodo intermedio (5 s.) y de la estacion III, respectivamente.

Despues de haber concluido el trabajo de campo y proceder al analisis de los datos recolectados, uno de los objetivos fue relocalizar los eventos principales para lo cual se utilizaron las siguientes replicas:

FECHA	ORIGEN	LAT N	LONG W	PROF	MAG
820613	61.2 59.96	10.175	98.435	10.94	5.26
820613	11.7 52.50	10.510	98.402	24.76	5.24
820613	14.3 10.78	10.495	98.399	23.96	5.08
820614	22.42 26.02	10.350	98.306	24.20	5.42
820615	17.24 17.04	10.620	98.469	26.65	5.41

siendo las de mayor magnitud y registradas tanto en la red local como en estaciones distantes, lo cual permite utilizar la tecnica llamada "evento maestro". Esta tecnica esta basada en el conocimiento de la localizacion precisa de un evento y el tiempo de viaje observado a estaciones distantes. De esta forma se puede calcular un tiempo residual de viaje a cada estacion de las ondas

sismicas en su trayecto a traves de la corteza, ya que la complejidad de la estructura cortical difiere del mejor modelo de capas planas que pudiera obtenerse. Obtenidos asi estos residuos a cada estacion, e incorporandolos al programa HYPO 71 se esta en posicion para localizar con mayor exactitud sismos en esta region utilizando lecturas de estaciones distantes.

Siguiendo tal procedimiento, se obtuvieron los promedios de los residuales a cada estacion, (tabla 3), al incorporarlos al programa HYPO 71, se obtuvo una localizacion mas confiable de los eventos principales, dando por resultados:

FECHA	ORIGEN	LAT N	LONG W	PROF	MAG
820607	-652 31.41	16.252	98.244	25.00	6.45
820607	1059 33.88	1e.324	98.452	8.00	7.01

La ubicacion de las replicas "maestras" usadas, asi como la relocalizacion de los dos eventos principales, se encuentra en la figura 11.

* SISMEX	SISTEMA DE INFORMACION SISMOTELMETRICA DE MEXICO
** SSN	SERVICIO SISMOLOGICO NACIONAL
*** RESMAC	RED SISMOLOGICA MEXICANA DE APERTURA CONTINENTAL

4 LA ACTIVIDAD SISMICA ANTERIOR

Sabiendo entonces que en esta zona se han presentado temblores de magnitud mayor o igual a 7.0 y que desde 1950 no ocurrria uno, existia una probabilidad alta de que ocurriera, algo importante consistia en el monitoreo de la zona, pues existen patrones de sismicidad precedentes a un gran sismo (Mogi, 1970; Kelleher, 1970; Ohtake y otros, 1977; Mac Cann y otros, 1980) estos pueden ayudar a realizar un pronostico de la ocurrencia de un gran sismo. Estos trabajos han utilizado para sus estudios datos del boletin P.D.E., a continuacion se presenta una comparacion de estos datos contra los obtenidos por SISMEX en el periodo de enero de 1976 fecha en que inicia la red

SISMEX, hasta la ocurrencia de los sismos principales. Tomando como region de estudio la zona entre los paralelos 15.7 y 16.7 lat N y los meridianos 97.5 y 99.5 long W. (fig 2).

4.1 Datos del boletin "Informacion Sismica Preliminar"

El Instituto de Ingenieria publica bimestralmente un boletin sismologico, con los epicentros localizados con los datos de las estaciones de la red SISMEX; con estaciones autonomas en Zihuatanejo, P. H. Caracol en el estado de Guerrero; Puerto Escondido en el estado de Oaxaca; asi como la red sismotelemetrica en la C.H. Chicoasen en el estado de Chiapas.

La figura 13 muestra la sismicidad en el area de Ometepec, durante el periodo enero de 1976 a junio de 1982, con datos reportados por el boletin "Informacion Sismica Preliminar", del Instituto de Ingenieria. Utilizando estos datos, no se nota una quietud significativa precedente a los eventos principales. Sin embargo si se nota una sismicidad de magnitudes bajas, pero puede deberse a una instrumentacion mas completa en la region.

4.2 Datos del boletin "P.D.E."

La figura 14 muestra la sismicidad en el area de Ometepec para el periodo 1963 a 1982 con los datos reportados por la oficina del U. S. Geological Survey (P.D.E.) en donde se ve el decremento de actividad sismica desde el año 1975 hasta 1980 donde se vuelve a incrementar. Las diferencias entre las dos graficas se debe a dos causas basicamente: a) Los datos del boletin P.D.E. reportan sismos con magnitudes mayores a 3.7 para esta region y b) Debido a que existe un corrimiento hacia el NE de aproximadamente 30 km contra la localizacion del boletin anteriormente mencionado, por tanto varios eventos se localizan fuera de la region de estudio. Tambien puede deberse a la falta de homogeneidad en los datos de Mexico, pero utilizar datos de P.D.E. para un estudio a detalle,

es poco confiable por las diferencias hipocentrales.

Por lo cual, se observa que al tener una mayor cobertura de estaciones se puede efectuar un monitoreo continuo de la sismicidad de mas bajas magnitudes, como para hacer un analisis detallado de la actividad precursora de una region en especial.

5 CONCLUSIONES

- La diferencia entre las localizaciones preliminares y las localizadas con la tecnica de evento maestro, varia 28 y 13 kilometros hacia el NE respecto a la primera.
- Los datos de estaciones mexicanas, ajustan con el mecanismo focal calculado por Astiz, asi como con el reportado por U.S.G.S.
- El calculo de caida de esfuerzos se encuentra entre valores obtenidos para otros eventos de la costa Mexicana del Pacifico.
- No se encontro ninguna relacion espacio-temporal entre uno de los temblores principales y algunas replicas asociadas a el.
- Para determinar si existio un periodo de quietud sismica precedente a la ocurrencia de los sismos principales, se debera tomar muy en cuenta el nivel de deteccion de la zona de estudio, restringir el area adecuadamente incluyendo sismos ocurridos en ella y eliminar aquellos mal localizados, asi como un estudio de la sismicidad anterior como base de comparacion.

AGRADECIMIENTOS

Agradezco el interés y las sugerencias al revisar el presente trabajo al Dr. S.K.Singh y al M. en C. Miguel Rodríguez, así como al Instituto de Geofísica por las lecturas de sus estaciones. Y las críticas y comentarios de : Ing. Carlos Gutiérrez, Ing. Tonatiuh Domínguez e Ing. Javier Lerma.

FIGURAS

- 1.- Mapa de Isosistemas elaborado por el Ing. Jesus Figueras
- 2.- Localización de las estaciones mas cercanas a la zona epicentral.
- 3.- Localización de las estaciones de campo instaladas para el estudio de las replicas.
- 4.- Muestra de un sismograma obtenido en la estacion NEZ
- 5.- Replicas localizadas usando la red local de sismograjos mostrando el area de replicas considerada.
- 6.- Secciones A/Paralela a la linea de costa y B/Perpendicular a ella mostrando la localización hipocentral de las replicas.
- 7.- mecanismo focal reportado por Astiz y Hanamori (1983), al que se le han incluido las estaciones mexicanas.
- 8.- Estadistica de los eventos localizados, relacionando el numero de eventos de magnitud mas grande o igual a M contra la magnitud M.
- 9.- Registro digital de las estaciones sismotelemetricas CRx, AGX, IIM, III, IIC, IIP, y TLX obtenidos en RESEMAC del evento ocurrido el 7 de Junio a las 00:52
- 10.- Registro analogico de la estacion IIM de periodo intermedio (5- s) obtenido en SISMEX
- 11.- Registro analogico de la estacion III obtenido en SISMEX
- 12.- Localización de las Replicas Maestras

y la relocalización de los eventos principales utilizando la técnica de evento maestro.

13.- Grafica tiempo-magnitud para la zona de Ometepec con datos tomados de Información Sísmica Preliminar en el área determinada por 15.7, 16.7 lat N y 97.5, 99.5 long W durante el periodo enero 1976 a junio 1982.

14.- Grafica tiempo-magnitud para la zona de Ometepec con datos tomados de F.D.E. para el periodo 1963 a 1982 y region anterior.

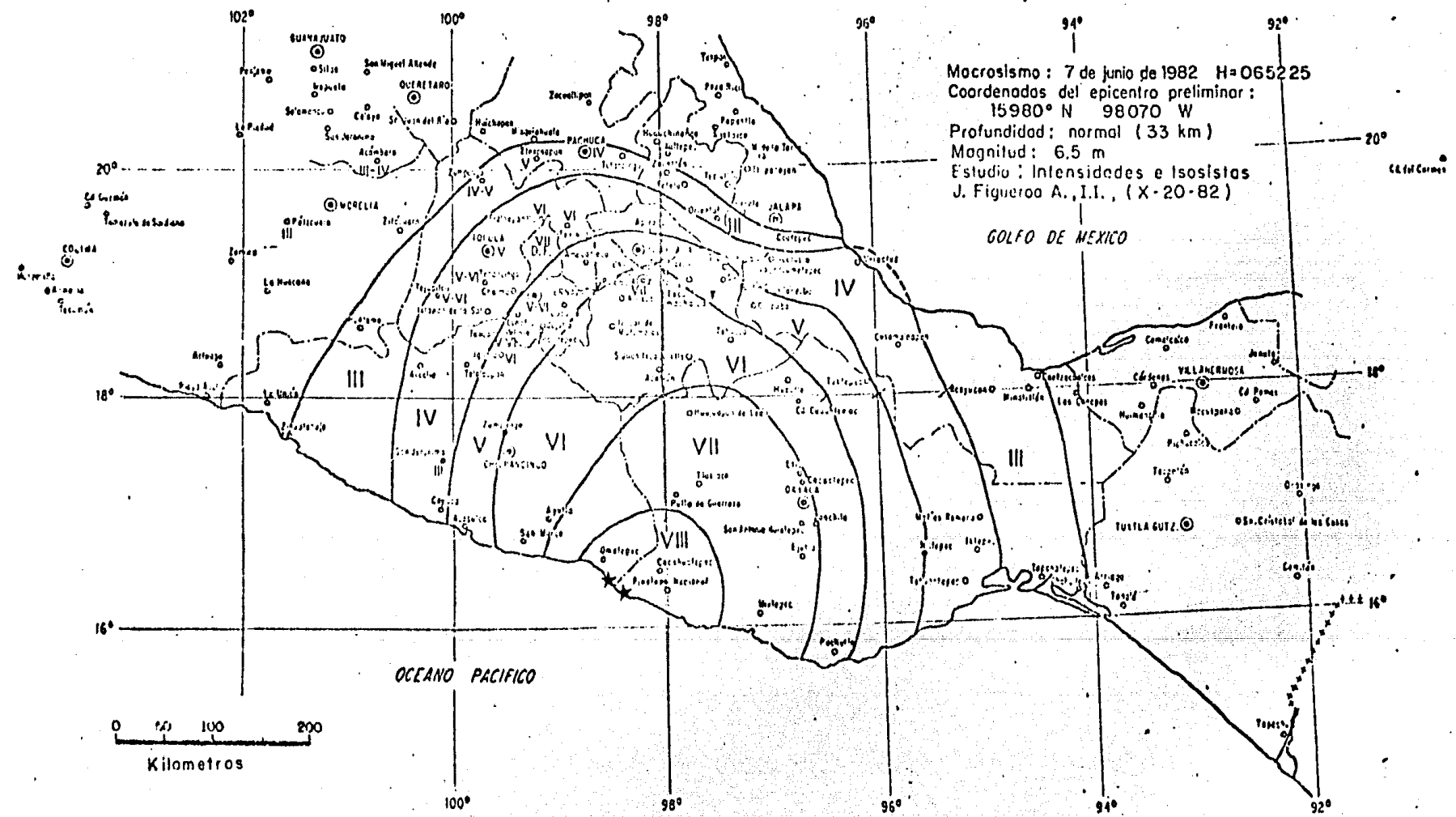
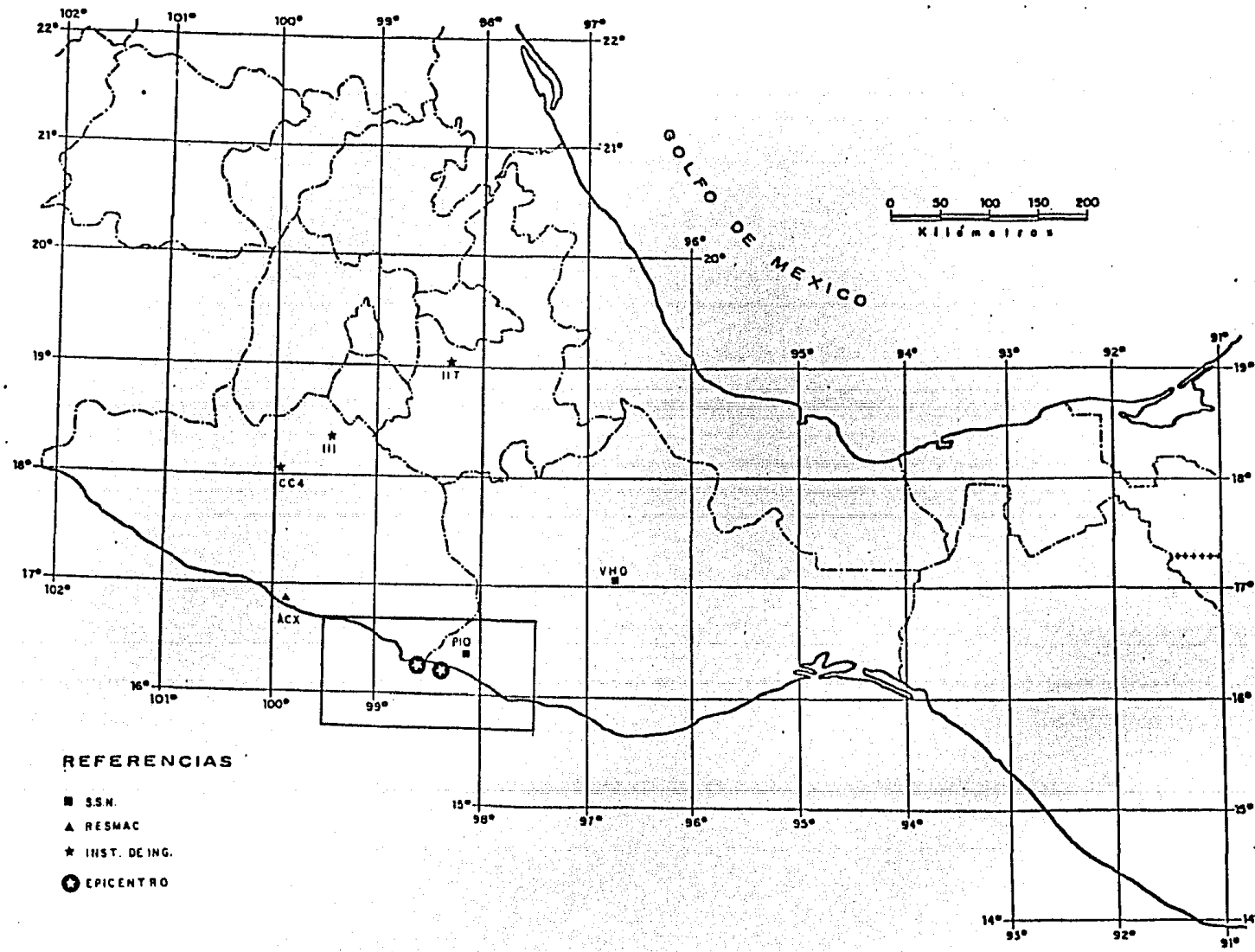


FIG. 1



REFERENCIAS

- S.S.N.
- ▲ RESMAC
- * INST. DE ING.
- EPICENTRO

FIG. 2

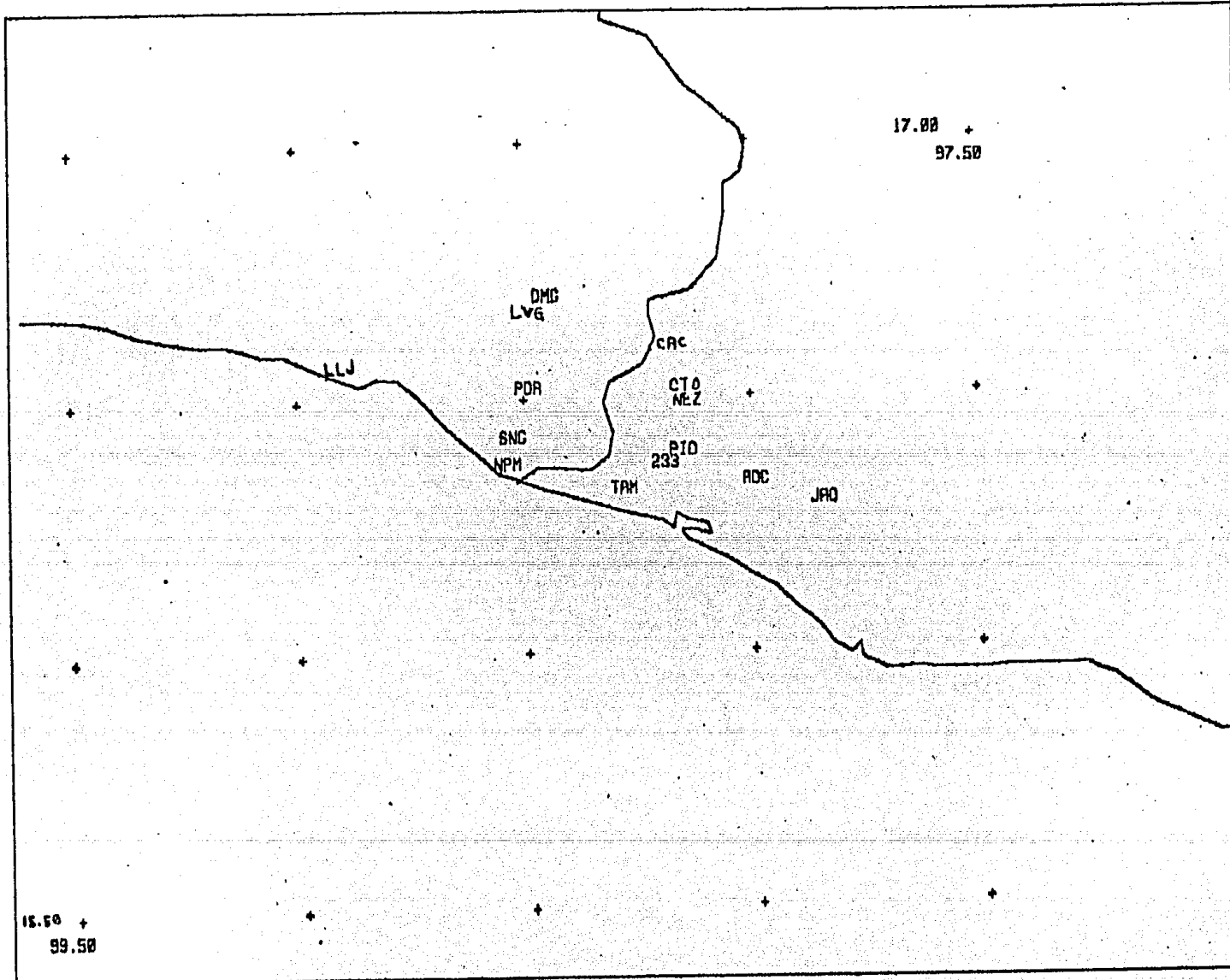


FIG. 3

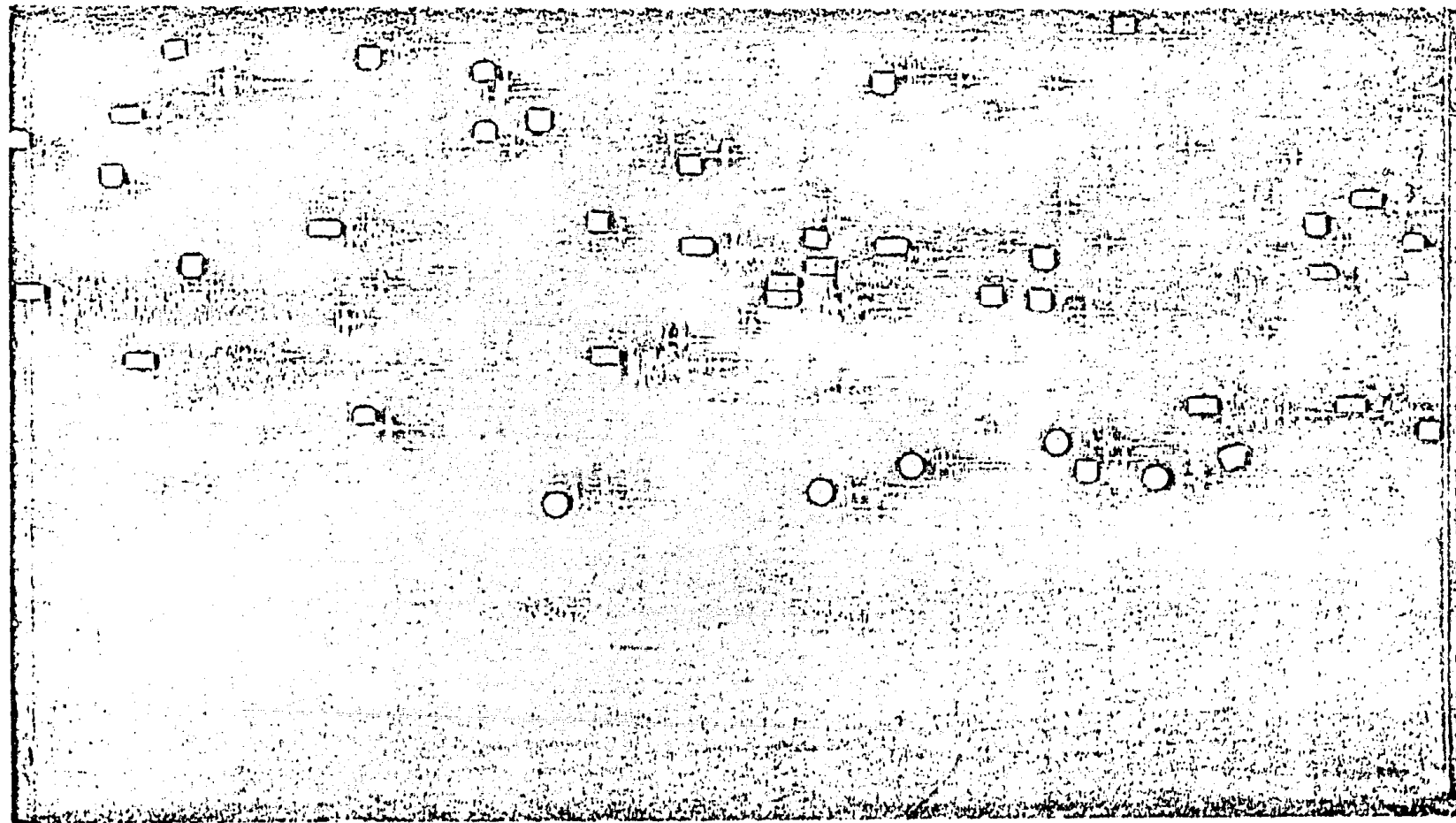
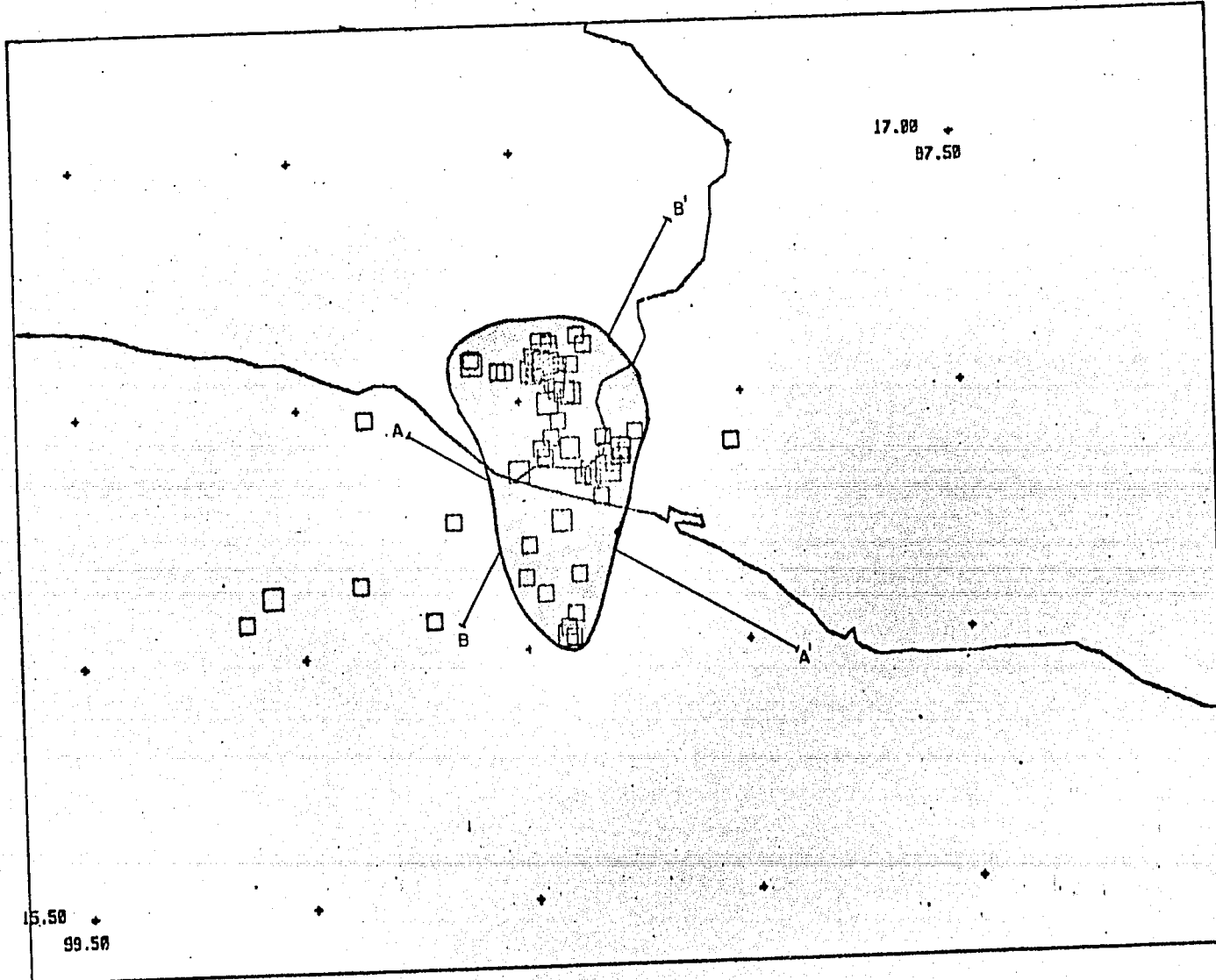


FIG. 4



PROFUNDIDAD HASTA 60 KM

- M<3
- 3<M<4
- 4<M<5
- 5<M

PROFUNDIDAD MAYOR DE 60 KM

- ▽ M<3
- ▽ 3<M<4
- ▽ 4<M<5
- ▽ 5<M

FIG. 5

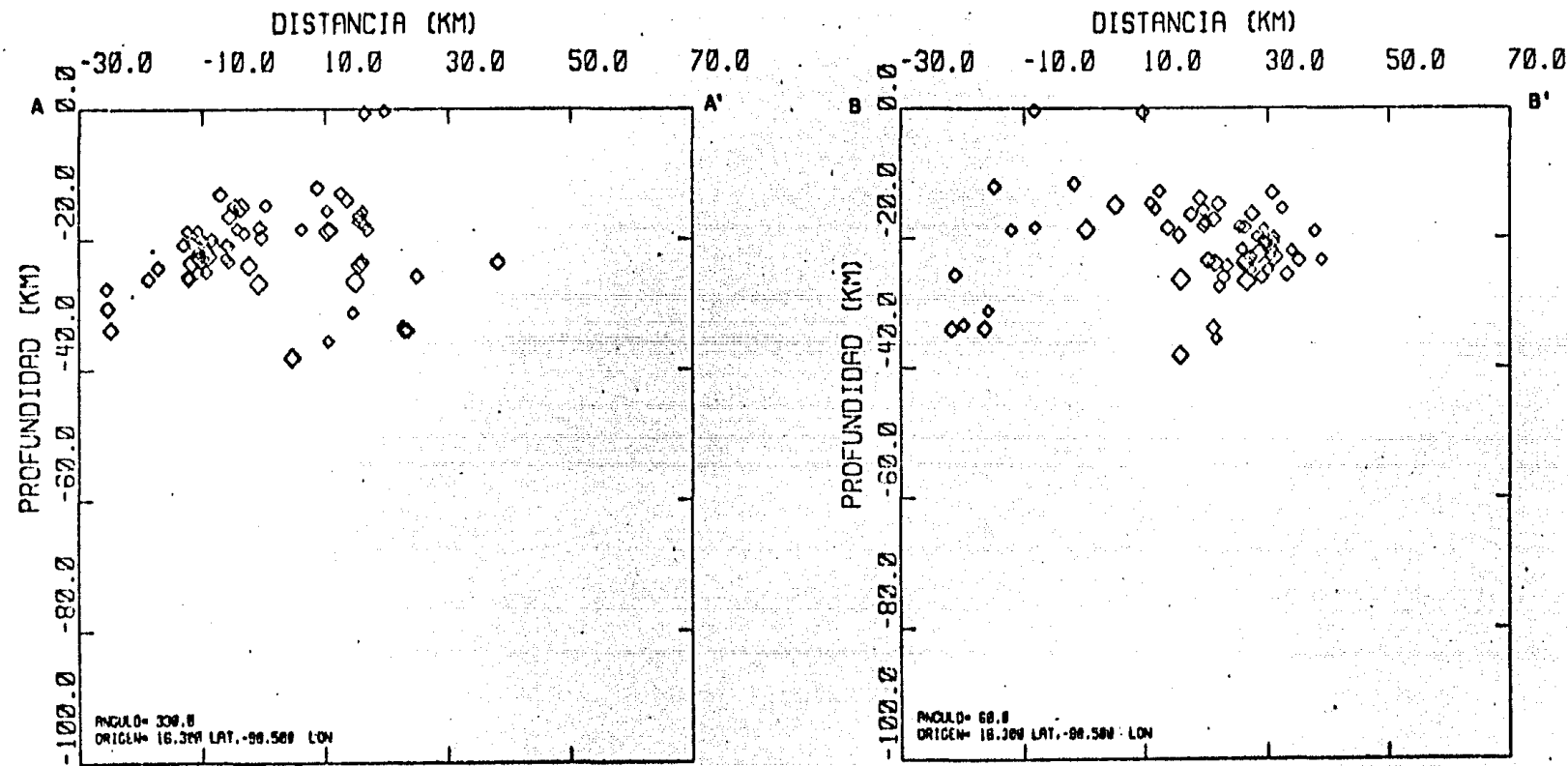


FIG. 6

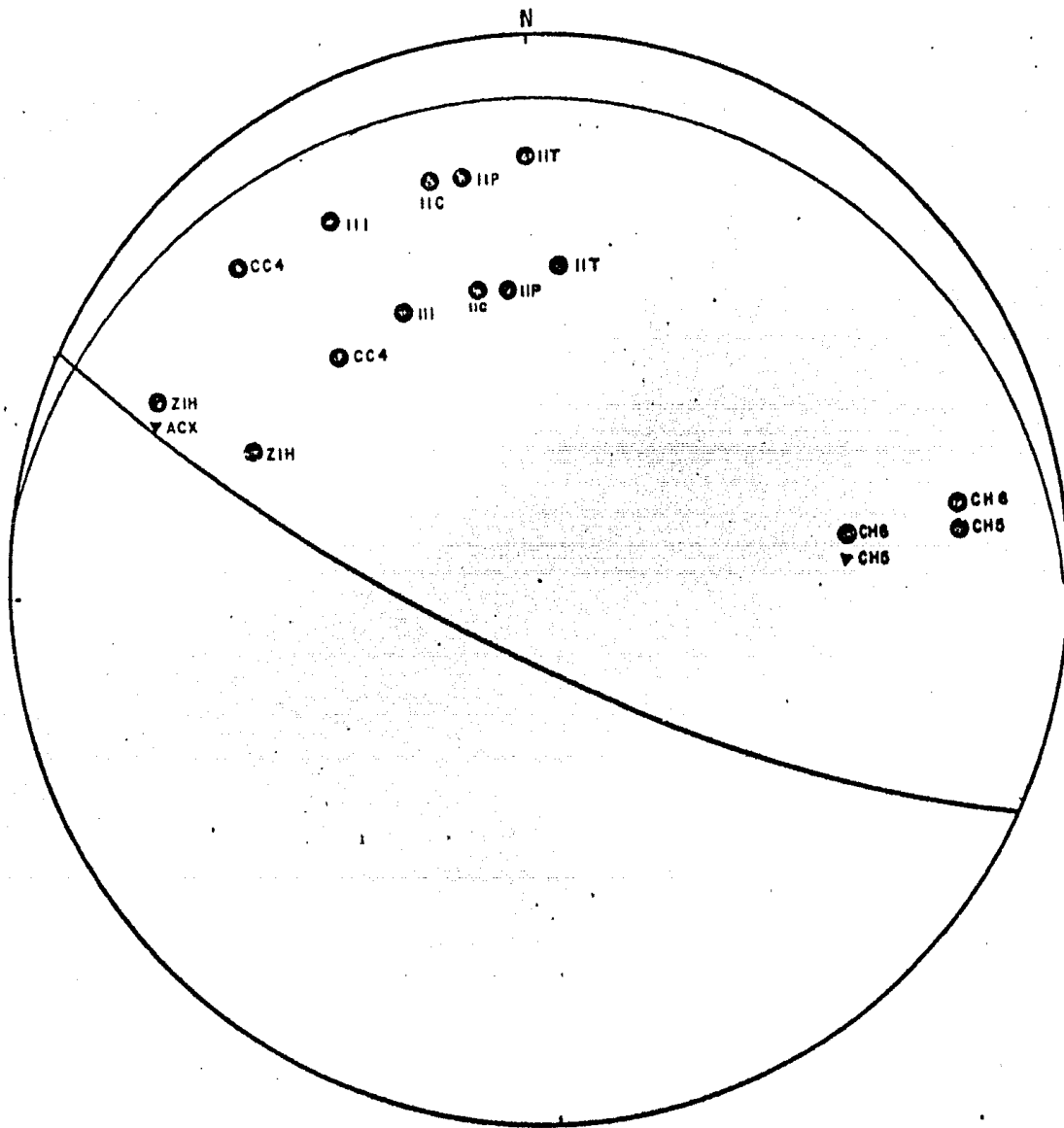
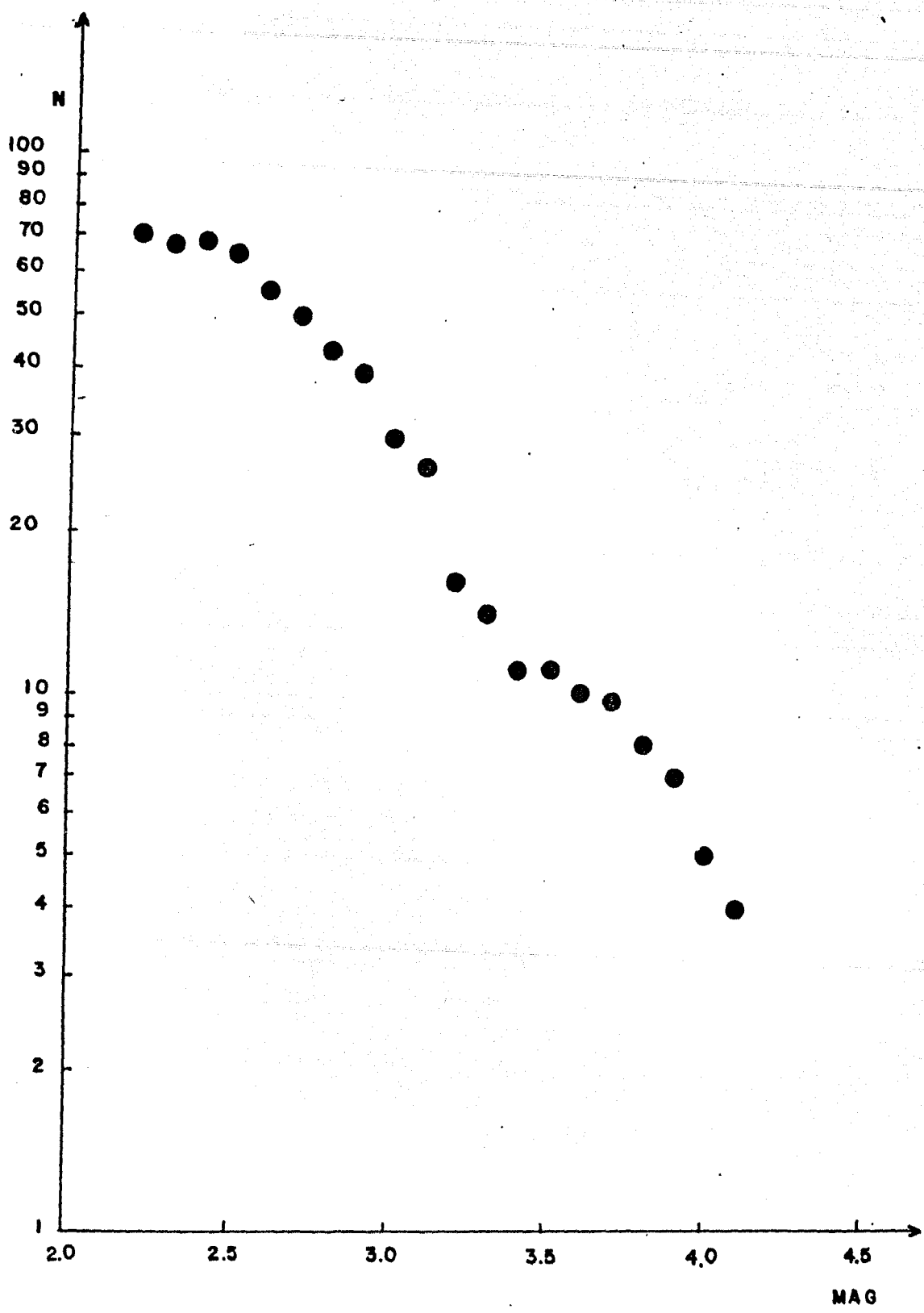


FIG. 7



relacion magnitud v.s. log. de N.

FIG. 8

RECORRIDO DE SISTEMA DE ALIMENTACIÓN
FECHA : 07 JUN 82
HORA : 06:12:25
DESCRIPCION : 0122
CIRCUITOS SEPARADOS :
• 1 2 3 4 5 6 7 8
• 9 10 11 12 13 14 15 16
• 17 18 19 20 21 22 23 24
• 25 26 27 28 29 30 31 32
FACTORES APLICADOS :
2015 2017 2019 2021 2023
2025 2027 2029 2031 2033

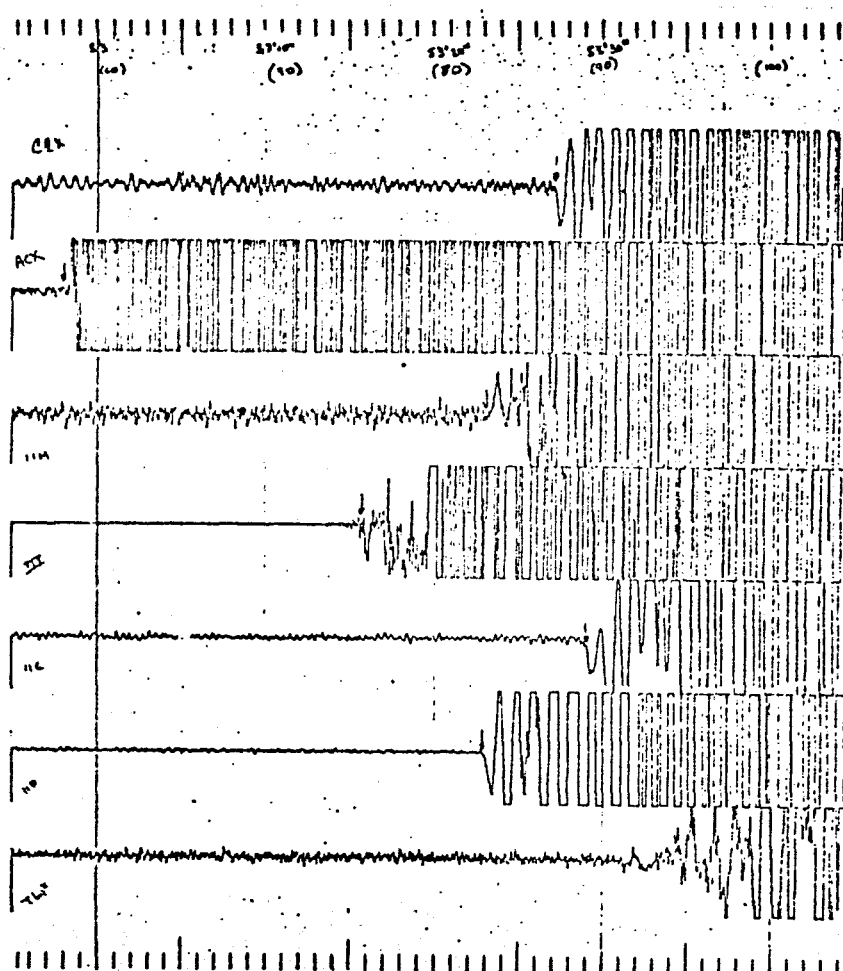


FIG. 9

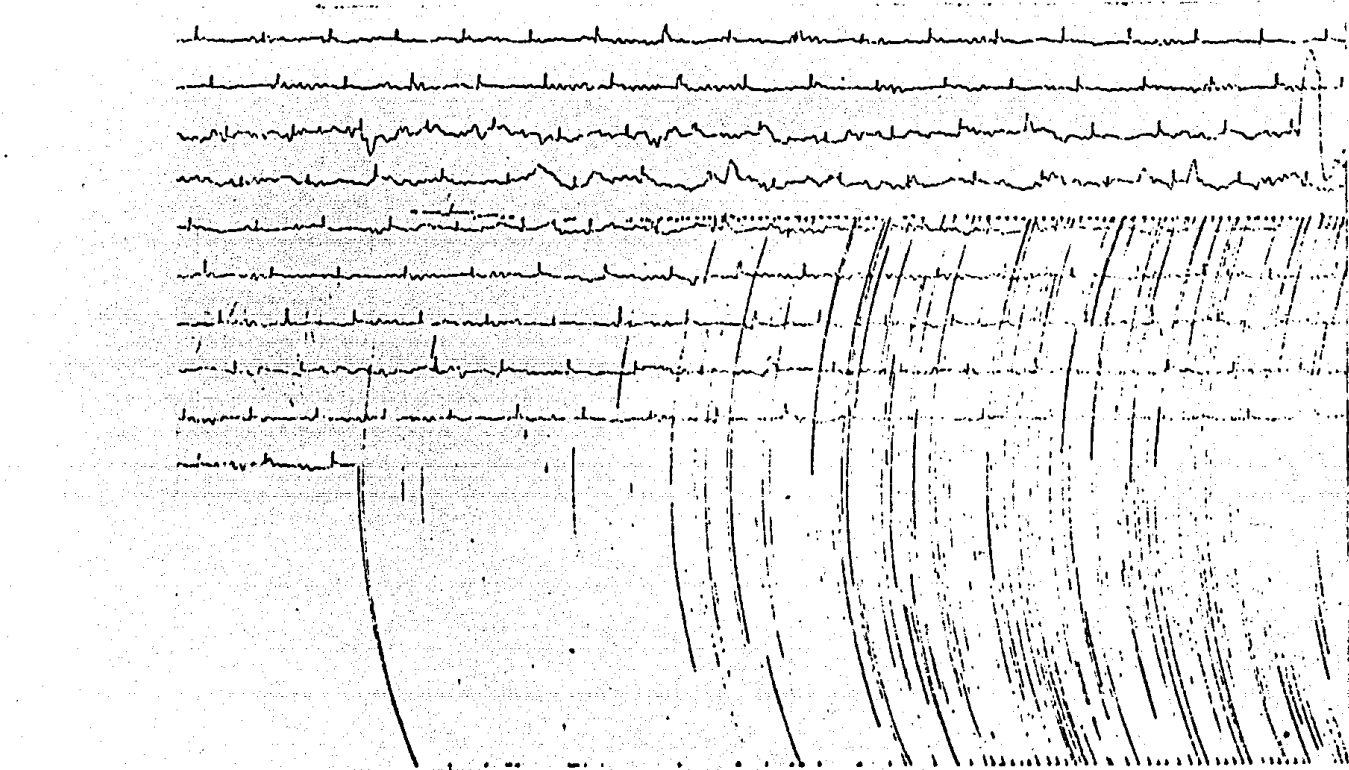


FIG. 10

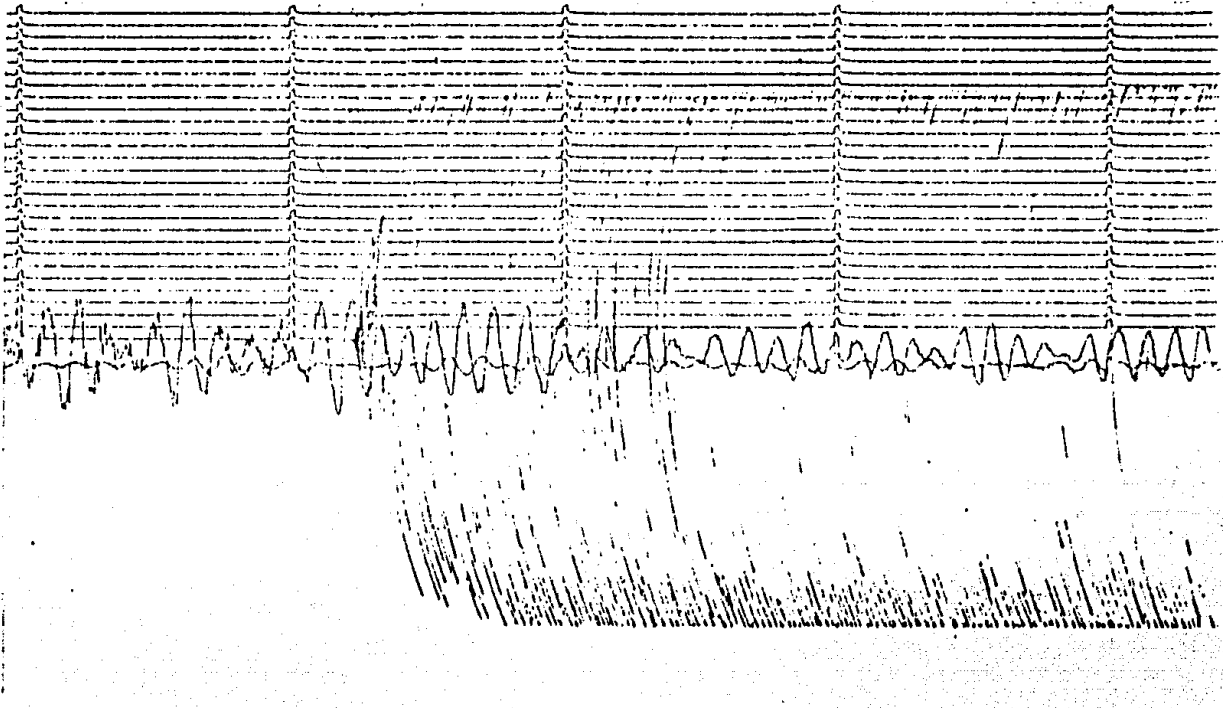


FIG.11

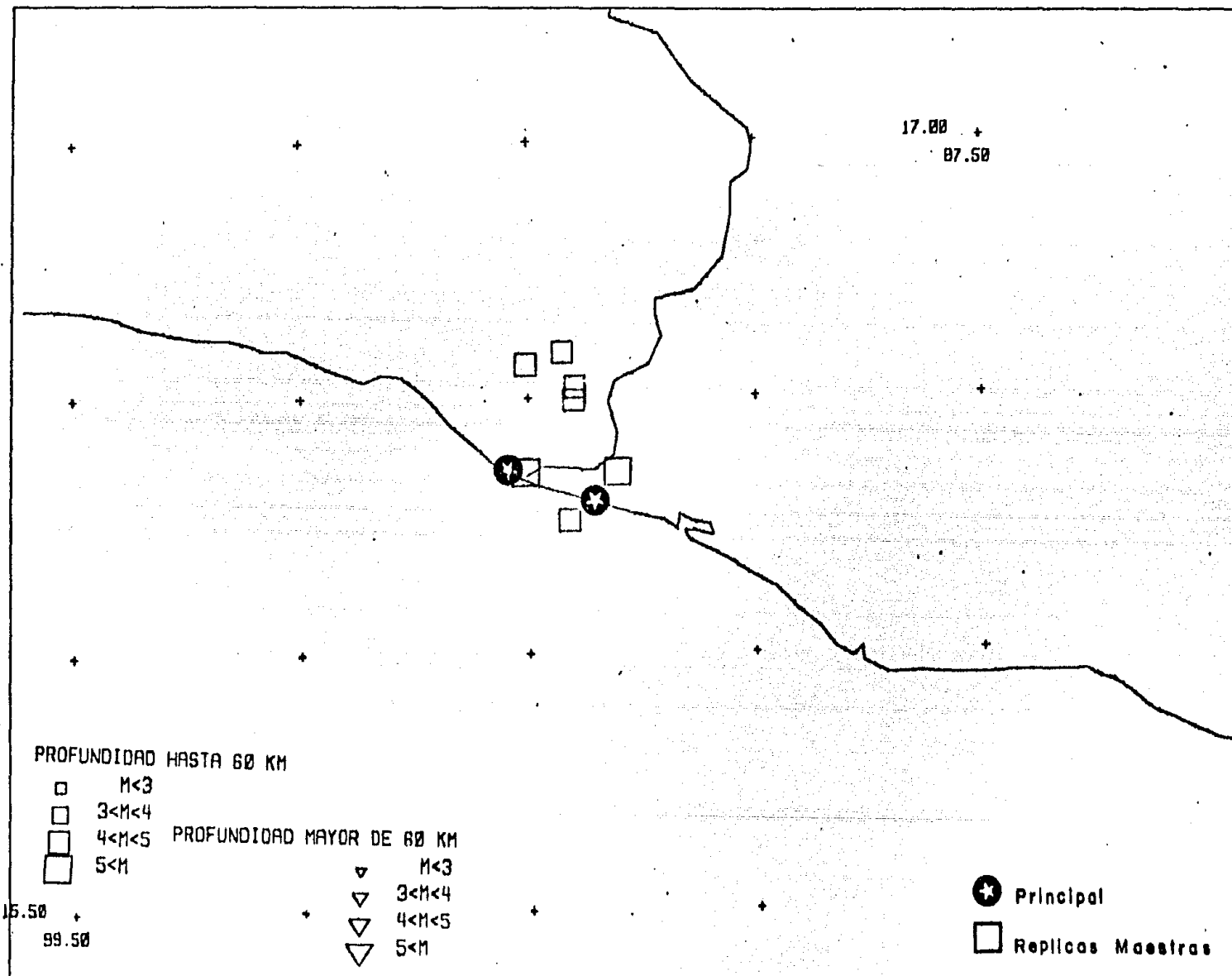


FIG. 12

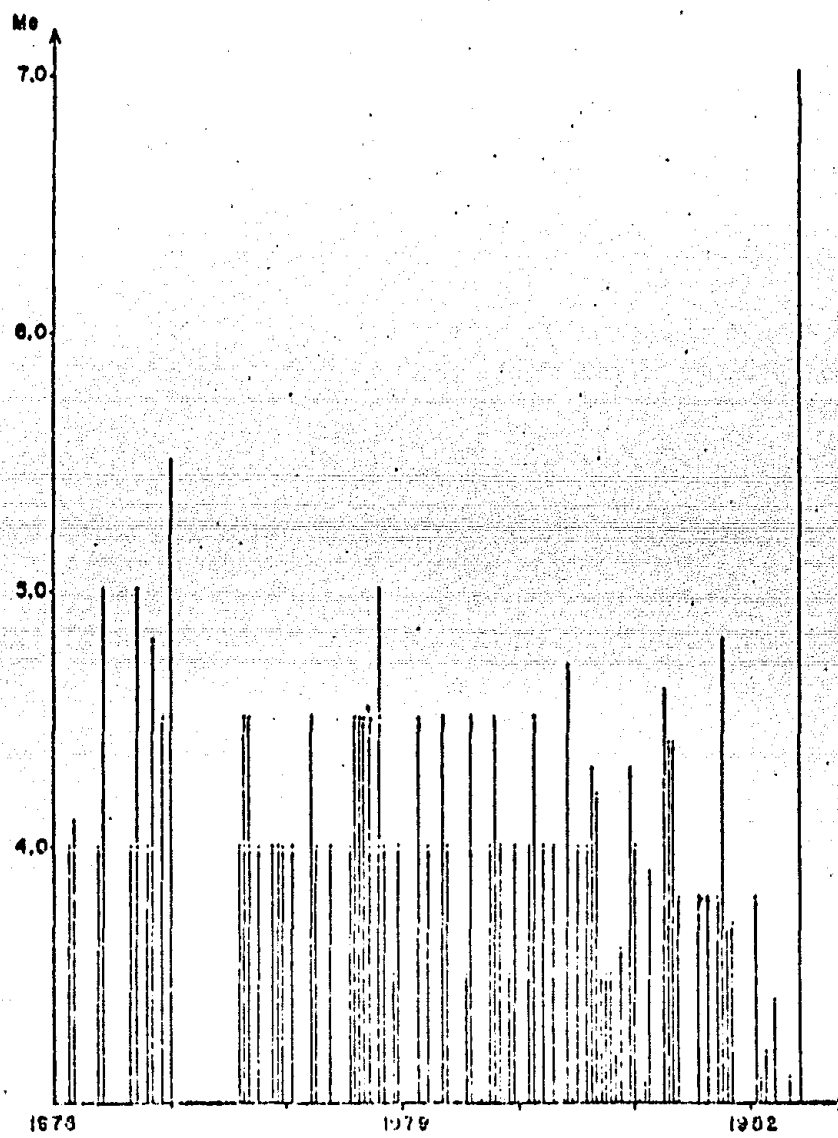


FIG. 13

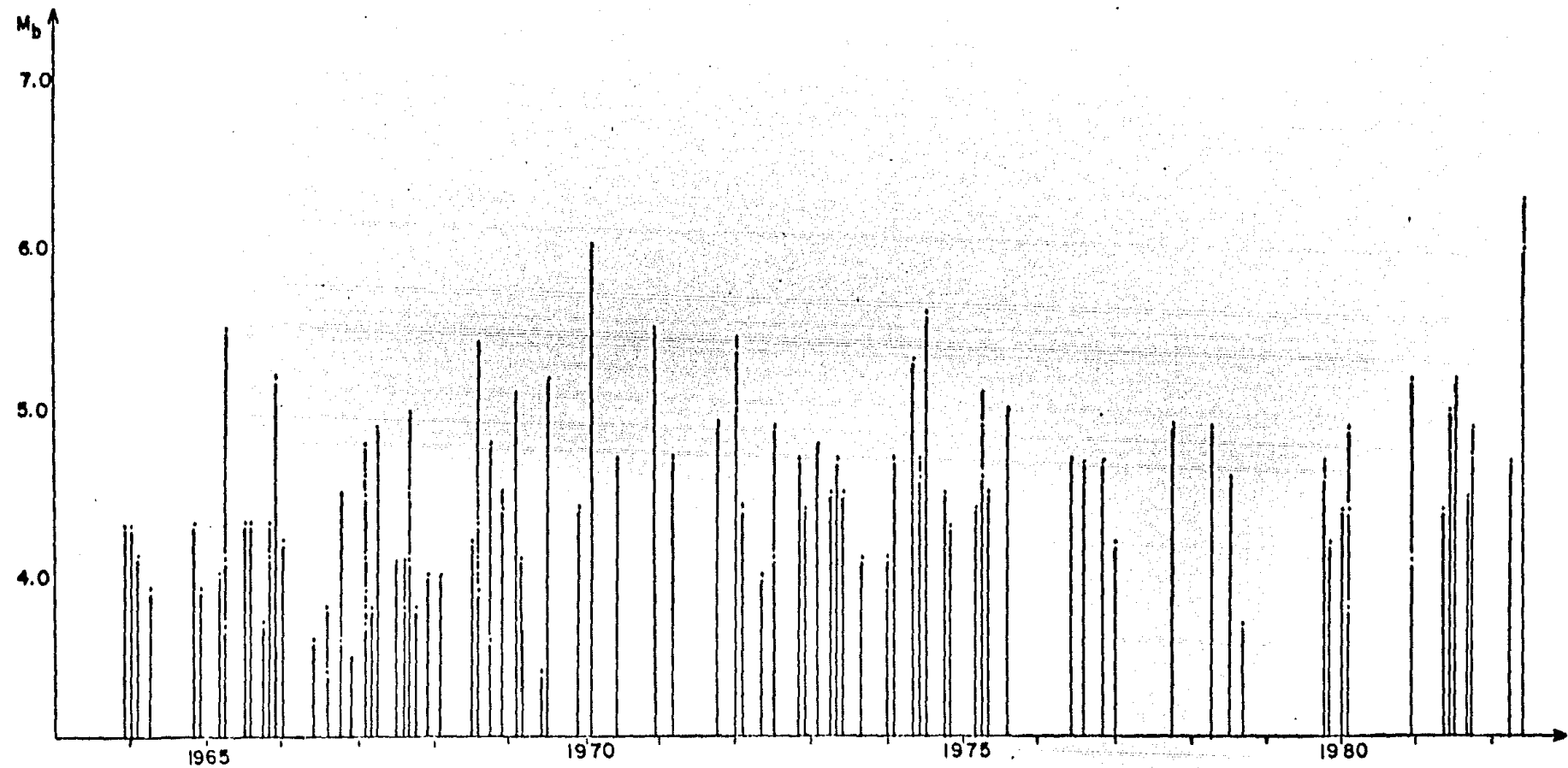


FIG. 14

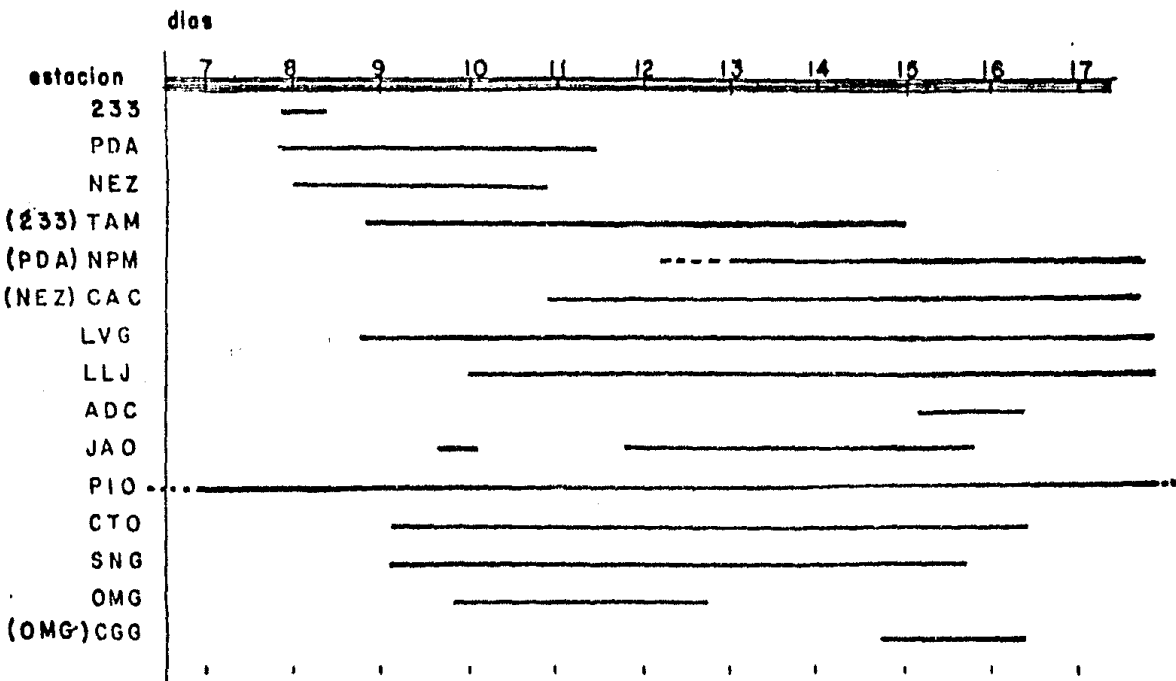


TABLA I. Diagrama de operación de las estaciones.

TABLA 2

DATE	ORIGIN	LAT N	LONG W	DEPTH	MAG	RMS	ERH	ERZ	Q NE
820608	039 53.10	1e-24.12	98-27.19	14.00	3.81	0.50	8.9	9.2	D 4
820608	15e 52.15	1e-24.12	98-28.30	38.11	4.56	0.64	17.8	10.3	D 4
820608	230 43.75	1e- 8.79	98-22.74	0.33	3.46	0.35	6.7	64.4	D 4
820608	325 8.9e	1e- 8.67	98-29.87	12.01	3.79	0.82	11.8	99.0	D 3
820608	350 19.43	1e-18.11	98-19.23	0.63	3.77	0.57	5.5	41.5	D 4
820608	2321 20.38	1e-34.22	98-22.77	15.48	3.51	0.22	2.5	2.6	D 4
820609	519 50.0e	1e-34.77	98-25.32	20.06	3.67	0.20	1.6	1.8	B 5
820609	712 40.73	1e- 1.40	98-24.67	38.98	4.03	0.17	1.6	0.7	C 7
820609	835 18.48	1e-27.39	98-24.77	18.20	3.80	0.23	1.8	2.0	C 5
820609	85e 5e.04	1e-36.51	98-26.93	19.01	3.54	0.18	0.8	1.3	C 7
820609	95e 7.72	1e-29.60	98-26.11	14.83	4.11	0.16	0.8	1.1	B 7
820609	11 e 4.85	1e-33.52	98-24.50	21.04	3.77	0.09	0.8	0.7	C 6
820609	1130 44.25	1e-35.27	98-26.23	23.00	5.01	0.19	1.6	1.4	C 5
820609	12 5 59.27	1e- 4.05	98-23.41	33.91	4.00	0.27	2.6	1.0	D 7
820609	1e 4 45.38	1e-32.36	98-25.02	16.36	4.20	0.36	1.5	2.0	C 8
820609	1e11 31.54	1e-21.48	98-30.28	14.88	4.77	0.17	1.6	1.2	C 8
820609	1938 51.65	1e-34.85	98-25.85	21.81	3.94	0.20	1.2	0.9	B 8
820609	1940 1.23	1e-22.90	98-16.35	17.61	3.72	0.27	1.3	1.4	B 9
820609	2137 59.51	1e-34.61	98-26.19	20.27	3.34	0.24	1.1	1.3	B 9
820609	23 e 57.25	1e-34.10	98-25.53	20.92	3.40	0.21	0.9	1.2	B 8
820610	0 8 33.12	1e- 5.63	98-27.37	31.21	3.29	0.27	1.6	2.4	C 9
820610	64e 17.84	1e- 2.51	98-24.49	33.37	3.41	0.27	2.0	1.0	C 9
820610	134 25.4e	1e- 1.25	98-28.78	25.63	3.76	0.38	2.4	5.4	D 9
820610	515 56.79	1e-34.76	98-27.43	20.50	3.46	0.28	0.8	1.1	B 8
820610	517 11.2e	1e-34.94	98-26.76	25.00	3.71	0.27	1.3	1.2	B 9
820610	1810 5e.51	1e-32.93	98-27.84	21.82	3.39	0.33	1.2	1.4	B 8
820611	144 46.8e	1e-21.52	98-20.83	18.48	3.95	0.30	1.6	1.7	C 7
820611	247 18.50	1e-15.75	98-39.40	18.77	3.37	0.17	1.4	2.1	C 7
820611	1528 8.42	1e-12.52	98-29.30	18.38	3.34	0.20	1.1	1.4	C 8
820611	1837 53.62	1e-34.1e	98-24.28	20.73	3.43	0.27	1.0	1.5	B 8
820611	17 7 22.42	1e-36.74	98-25.55	22.11	3.37	0.39	2.0	1.6	C 8
820611	2145 12.5e	1e-35.1e	98-26.67	22.75	3.59	0.20	1.1	0.9	B 7
820611	2339 29.65	1e-23.22	98-17.99	13.88	4.03	0.30	1.6	2.4	D 8
820612	047 13.0e	1e-34.60	98-26.94	18.62	3.09	0.25	1.0	1.5	B 10
820612	112 13.5e	1e-37.71	98-21.86	23.44	3.35	0.47	2.5	1.4	C 9
820612	234 42.50	1e-23.08	98-26.70	14.66	3.51	0.23	1.1	1.1	C 7
820612	718 1e.68	1e-25.72	98-14.34	18.49	3.63	0.63	1.9	2.5	C 10
820612	101e 55.24	1e-33.53	98-27.45	23.03	3.73	0.34	1.2	1.2	B 10
820612	12 9 4.38	1e-33.93	98-27.03	19.87	3.32	0.26	0.9	1.3	B 9
820612	1531 58.44	1e-34.65	98-36.15	38.92	4.04	0.67	3.8	2.6	D 10
820612	1548 5.3e	1e-22.34	98-16.97	18.04	3.1	0.27	1.1	1.1	B 8
820612	1548 52.30	1e-22.82	98-16.58	15.72	3.60	0.41	1.4	1.8	C 9
820612	1614 36.03	1e-35.30	98-36.19	27.51	3.50	0.32	2.1	2.5	C 6
820612	1811 48.4e	1e-28.60	98-50.95	11.57	3.75	0.14	1.2	1.0	C 8

820e12	2345	33.80	16-21.99	98-17.42	16.40	3.96	0.60	2.3	2.8	D	8
820e13	124	30.80	16-31.12	98-24.92	18.29	3.49	0.17	0.6	1.1	B	8
820e13	242	0.46	16-33.21	98-26.85	25.00	3.53	0.32	1.2	1.3	C	10
820e13	548	48.49	16-20.73	98-21.61	15.55	3.42	0.24	1.2	1.2	C	9
820e13	813	1.00	16-15.35	98-24.81	18.69	4.82	0.46	2.2	2.1	D	9
820e13	117	52.51	16-30.65	98-22.93	26.74	4.96	0.31	1.4	2.1	C	8
820e13	143	16.95	16-30.98	98-23.76	23.96	4.84	0.32	1.4	1.1	C	9
820e13	1432	10.81	16-34.79	98-27.74	26.12	3.82	0.58	2.3	2.5	C	9
820e13	2026	24.12	16-33.73	98-26.36	22.60	4.72	0.33	1.3	1.2	C	9
820e13	2049	59.84	16-34.30	98-24.74	13.06	3.98	0.24	0.8	2.1	B	8
820e14	32	47.68	16-35.32	98-28.00	20.80	3.79	0.45	1.6	2.0	C	9
820e14	85	3.36	16-28.72	98-16.32	17.19	4.22	0.39	1.3	2.4	C	9
820e14	181	55.87	16-36.82	98-26.66	25.69	4.02	0.38	1.6	1.7	C	9
820e14	2126	0.61	16-33.78	98-32.67	26.12	3.85	0.63	2.5	3.3	C	8
820e14	2242	26.69	16-21.38	98-18.23	26.44	5.08	0.16	0.7	1.0	C	9
820e15	37	33.05	16-28.19	98-16.43	23.50	4.16	0.52	2.0	1.9	D	10
820e15	38	42.98	16-23.87	98-16.32	23.94	4.55	0.48	2.2	1.5	C	10
820e15	738	17.13	16-20.44	98-20.38	12.81	3.63	0.42	1.6	3.1	D	8
820e15	1414	54.92	16-33.66	98-31.74	24.40	3.74	0.55	2.0	2.3	C	9
820e15	1716	1.78	16-25.41	98-25.79	19.61	3.94	0.35	1.4	1.4	C	9
820e15	1724	17.43	16-33.54	98-28.12	23.61	4.97	0.39	2.6	2.1	B	8
820e16	942	3.65	16-25.28	98-18.76	35.57	3.26	0.64	3.9	4.7	D	7

Donde:

DATE	Fecha
ORIGIN	Hora y minuto de origen referido a G.M.T.
LAT N	Latitud norte en grados y minutos
LON W	Longitud oeste en grados y minutos
DEPTH	Profundidad focal en kilometros
MAG	Magnitud de coda
RMS	Error cuadratico medio de tiempos residuales en segundos
ERH	Error numerico horizontal en kilometros
ERZ	Error numerico vertical en kilometros
Q	Cantidad estimada por el programa HYPO

TABLA 3

130812 131107 131403 142242 151724

ESTACION	P/RES	P/RES	P/RES	P/RES	P/RES	AV/RES	SD/RES
ALX	0.17	0.36	0.64	0.67	0.71	0.51	0.21
III	3.65	3.53	3.89	3.41	3.32	3.56	0.20
IIT	4.02	4.37	3.82	3.72	3.27	3.84	0.36
IIP	4.74	4.66	4.71	4.39	4.43	4.59	0.15
IIM	6.69	6.50	6.44	6.46	6.12	6.45	0.18
IIC	4.49	5.02	4.36	4.60	3.93	4.58	0.41

Residuales obtenidos para cada replica maestra,
obteniendo el promedio y desviacion estandar.

REFERENCIAS

-Aki,K., & Richards,P.

Quantitative Seismology. Theory and Methods Freeman & Co., San Francisco, U.S.A., 1980

-Astiz,L. and Kanamori,H.

An Earthquake Doublet in Ometepec, Guerrero, Mexico. Submitted to P.E.P.I., 1983

-Berg,E.

Relation between earthquake foreshocks, stress and mainshocks Nature , V, 219, pp.1141-1143, 1968.

-Duda,S.J.

Secular seismic energy release in the circum Pacific belt. Tectonophysics 2, 409-452, 1965.

-Figueroa,J.

Catálogo de sismos ocurridos en la Republica Mexicana, Reporte 272 del Instituto de Ingenieria ,1970

-Gutenberg,B. y Richter,C.F.

Earthquake magnitude, intensity, energy and acceleration Bull. Seismol. Soc. Amer., 46 , pp.105-145, 1956.

-Havskov,J. y Macias,M.

A coda-length magnitude scale for Mexico, Preprint.

-Havskov,J., Singh,S.B. y Novelo,D.

- Geometry of the Benioff zone in the Tehuantepec area in southern Mexico. Geofisica Internacional, Vol. 21, No. 4, pp. 325-330, 1982.
- Ishida, M., and Kanamori, H.
- The foreshock activity of the 1971 San Fernando earthquake, California. Bull. Seismol. Soc. Amer., 68, pp. 1265-1279, 1978.
- Kanamori, H.
- The energy release in great earthquakes. J. Geophys. Res., 82, No. 26, pp. 2981-2987, 1977.
- Helleber, J., L. Sykes, and J. Oliver
- Possible criteria for predicting earthquake locations and their application to major plate boundaries of the Pacific and the Caribbean. J. Geophys. Res., 78, pp. 2547-2565, 1973.
- Lee, W.H.K., Bennett, R.E. & Meagher, K.L.
- A method of estimating magnitude of local earthquakes from signal duration. U.S. Geological Survey, Open-file report , 28 pp., 1972.
- Lee, W.H.K. & Lahr, J.C.
- HYPOTI (Revised): A program for determining hypocenter, magnitude and first motion pattern of local earthquakes, Open-file report 75-311, U.S. Geological Survey 114 pp., 1975.
- Minster, J.B. & Jordan, T.H.
- Present day plate motions, J. Geophys. Res., 83 , pp. 5351-5354, 1978.
- Quintanar, L., Ponce, L. y Yamamoto, J.
- Variaciones espacio temporales de la sismicidad en la region costera de Oaxaca de 1950 a 1982 (mb > 4.3). En preparacion.

-Singh, S.K., Astiz, L. y Havskov, J.

Seismic gaps and recurrence periods of large earthquakes along the mexican subducción zone: a reexamination. Bull. Seismol. Soc. Amer., 71 No.3, pp. 827-843, 1981.

-Singh, S.K., Havskov, J., McNally, E., Ponce, L., Hearn, T. and Vassiliou, M.

The Oaxaca, Mexico, earthquake of november 1978; A preliminary report on aftershocks. Science, 207, pp. 1211-1213, 1980

-Singh, S.K., and Wyss, M.

Source parameters of the Orizaba earthquake of august 28, 1978. Geofisica Internacional, 16, pp. 165-184, 1978.

-Valdez, C. and Meyer, R.P.

Analysis of the Petatlan aftershocks: numbers, energy release and asperities. J. Geophys. Res., 87, No. B10, pp. 6515-6527, 1982.

-Wesson, R.L., and Ellsworth, W.L.

Seismicity preceding moderate earthquakes in California. J. Geophys. Res., 78, pp. 8527-8546, 1973.

-Zuniga, F.R. y Valdez, C.M.

Analisis de las replicas del temblor de petatlan del 14 de marzo de 1979. Tesis profesional, Fac. de Ingenieria, U.N.A.M., 1980.